



ВНИИА
РОСАТОМ



Платформа PyPHIA

Python parallel PHysics Integrated API

С.А. Дьячков, С.Ю. Григорьев, В.В. Жаховский, П.П. Захаров,
А.А. Козырев, И.С. Меньшов, Р.В. Муратов, С.А. Мурзов,
А.Н. Нимаков, А.Н. Паршиков, Г.Д. Рублев, А.А. Сережкин

ФГУП «ВНИИА» им. Н.Л. Духова

12-й профессиональный слёт разработчиков отечественных CFD-кодов

CFD WEEKEND-2025

Предназначена для моделирования комплексных физических процессов



- Кумулятивные явления и пробитие
- Ударные и детонационные волны
- Неустойчивые течения
- Взаимодействие лазера с веществом
- Гетерогенные среды
- Вязкость и капиллярные явления



- Лазерный термоядерный синтез
- Взаимодействие лазера с плазмой
- Плазменные потоки в атмосфере
- Горение в газовых потоках
- Астрофизика, магнитосфера планет
- Плазменные источники излучений



- Распространение в неоднородных средах
- Взаимодействие с объектами
- Распространение в атмосфере
- Детектирование



- Транспорт частиц и излучения в сложной геометрии
- Транспорт частиц и излучения
- Радиационное воздействие на вещество
- Радиационная стойкость приборов



- Уравнения состояния
- Прочность и пластичность
- Разрушение и откол
- Перенос тепла, излучения
- Диффузия и вязкость
- Химическая и плазменная кинетика



- Газовые разряды
- Источник Пенningа
- Эффект Холла
- Электровакуумные источники нейтронов (нейтронные трубы)
- Полупроводники



Data

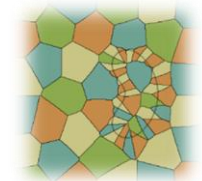
Единое представление данных для всех модулей

P	float 64 bit
ρ	float 64 bit
T	float 64 bit
v :	x, y, z
r :	x, y, z
kind:	SPH
uid:	integer 64 bit



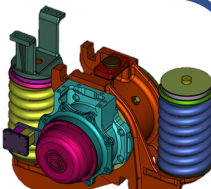
Decomposition

Распределение данных между вычислительными узлами при параллельных расчетах



Geometry

Интерактивное и скриптовое построение геометрических моделей



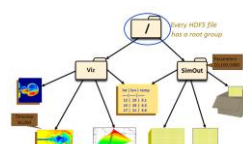
Mesh

Построение расчетных сеток для геометрических моделей и вспомогательные алгоритмы



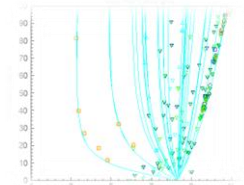
Input/Output

Ввод/вывод данных в различных форматах



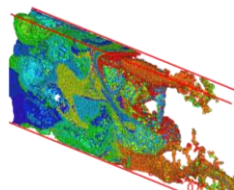
Matter

Библиотека моделей материалов



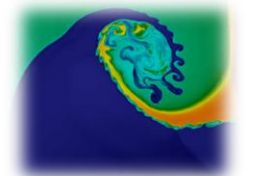
Render

Визуализация результатов расчета в интерактивном и скриптовом режиме



Solver

Библиотека решателей: FVM, FEM, SPH, MD, TPT, DDM, PIC, EM и др.





```
data::Storage storage(
{ // список полей из имеющихся
    "coords",
    "velocity",
    "size"
},
100 // число элементов массива
);
for (int i = 0; i < 100; ++i) {
storage[i] [coords].x      = 5;
storage[i] [velocity].x    = 5;
storage[i] [size].value    = 5;
}
```

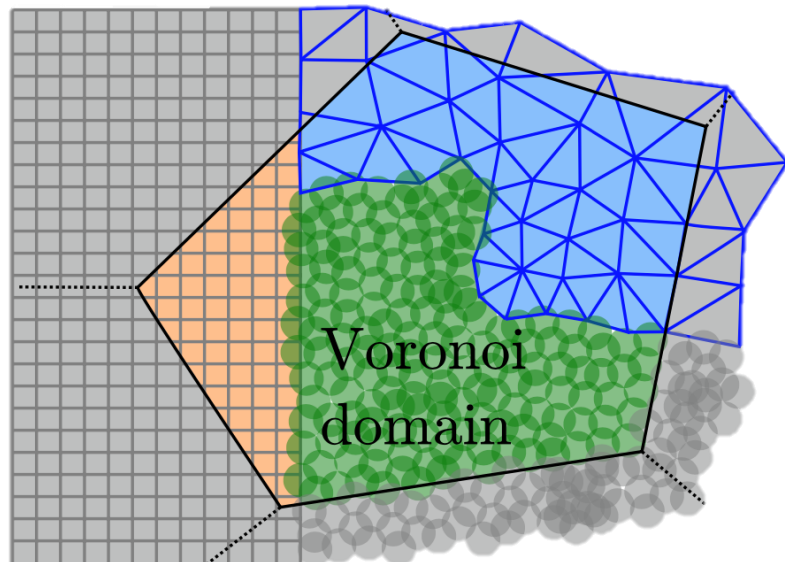
```
from pypchia.data.types import *
from pypchia.data import Storage

storage = Storage(
    np.dtype([
        coords,
        velocity,
        size
    ]),
    10
)
storage.data["coords"] ["x"]      = 5.0
storage.data["velocity"] ["x"]   = 5.0
storage.data["size"] ["value"]  = 5.0
```



Storage – хранение массива структур с динамическим набором полей

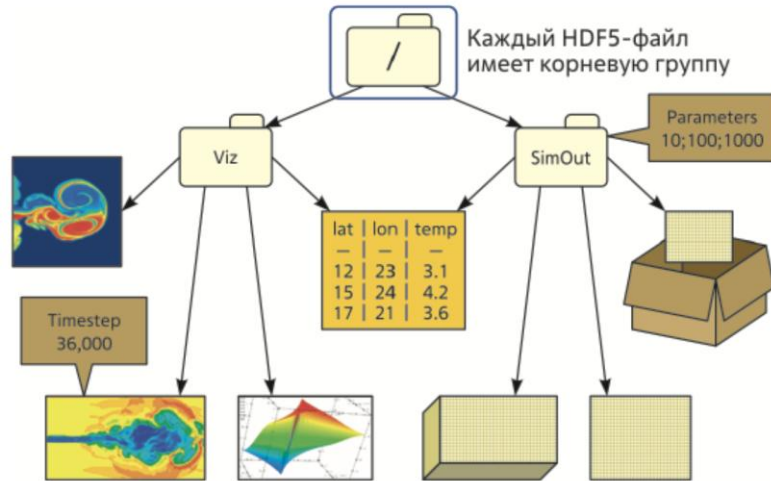
Обеспечивает универсальное представление данных, совместимость с Python, параллелизацию и сопряжение численных методов





Интерфейс языка **Python** и библиотеки **NumPy** позволяет использовать широкий набор средств для ввода и вывода данных. Пользователь может ограничиться имеющимися в открытом доступе библиотеками для ввода и вывода данных либо воспользоваться некоторыми реализованными в рамках комплекса PyPHIA.

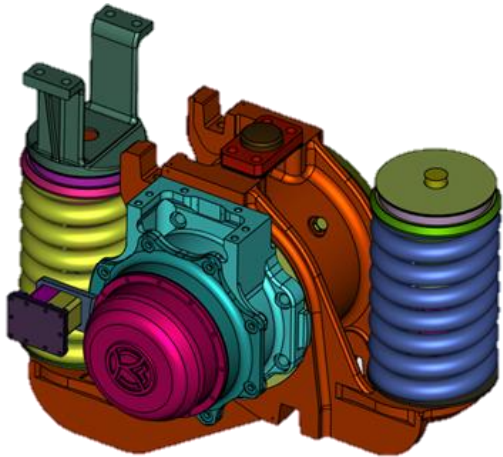
HDF (Hierarchical Data Format)



<https://www.hdfgroup.org>

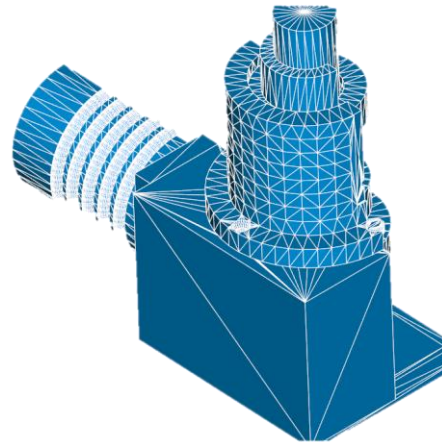


Модуль задания геометрических моделей



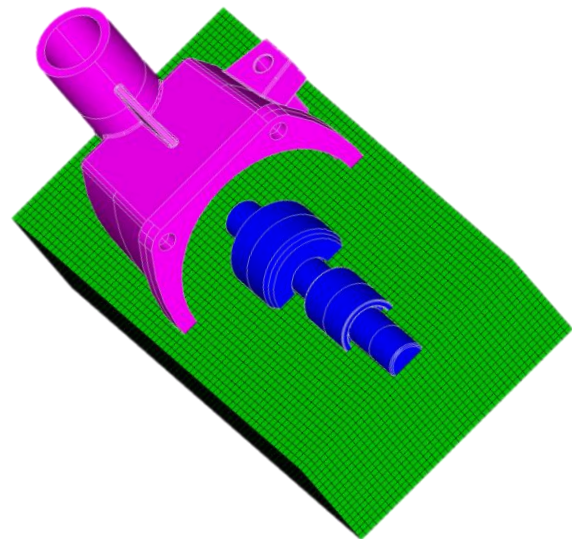
1. Геометрическая модель

Перед выполнением численного моделирования построение геометрии элементов конструкции в расчетной области с помощью интерактивного CAD-редактора.



2. Триангуляция

После задания геометрических моделей выполняется триангуляция поверхностей. Полученная полигональная модель используется для вычисления объемной доли пересечения с расчетной сеткой, которая строится на следующем этапе.



3. Построение сетки

Полигональная модель проецируется на сетку, так что каждой ячейке приписываются идентификаторы, соответствующие геометрической модели, что позволяет задать корректные начальные данные на сетке перед началом расчета.



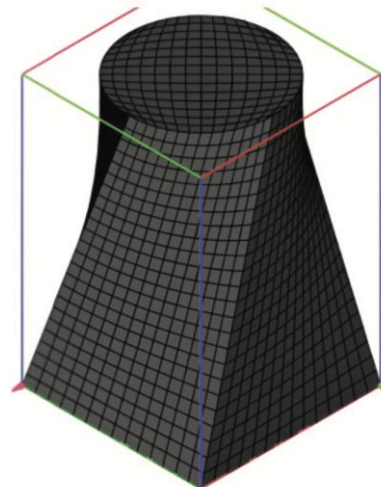
purnia.mesh

Модуль работы с сетками

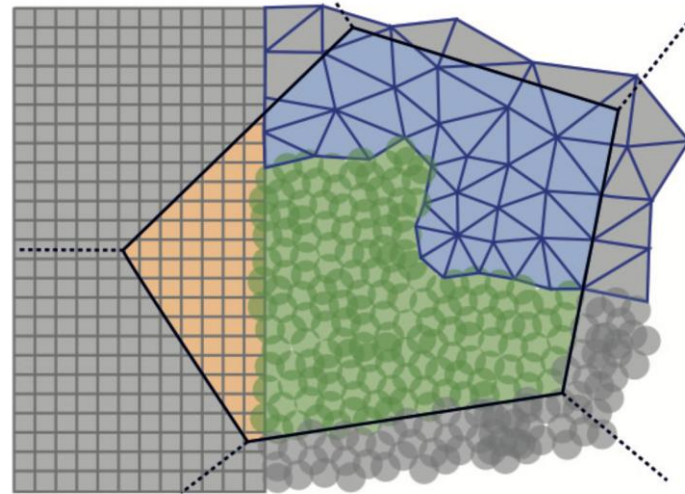


ВНИИА
РОСАТОМ

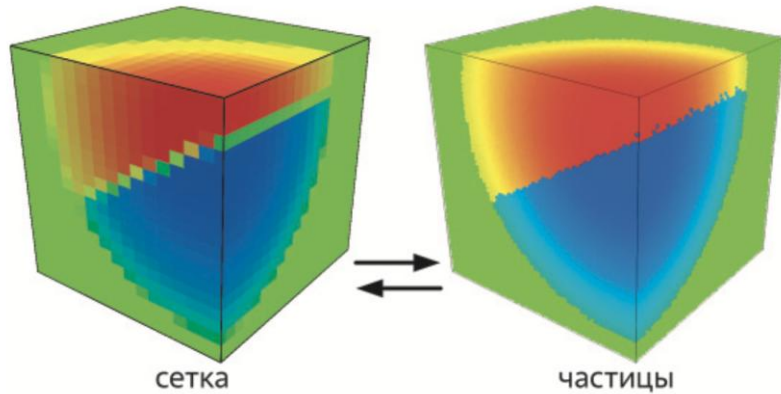
generator



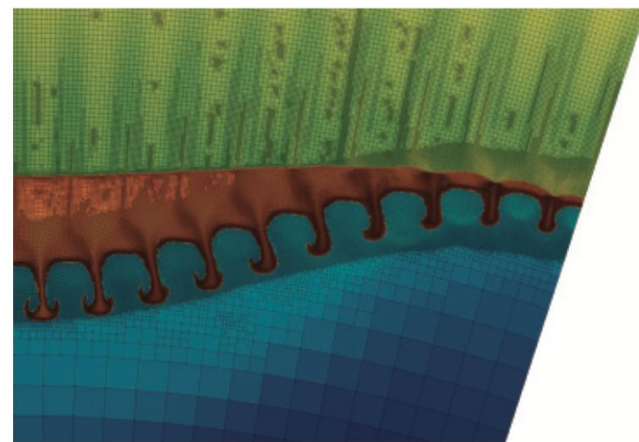
coupling



convert

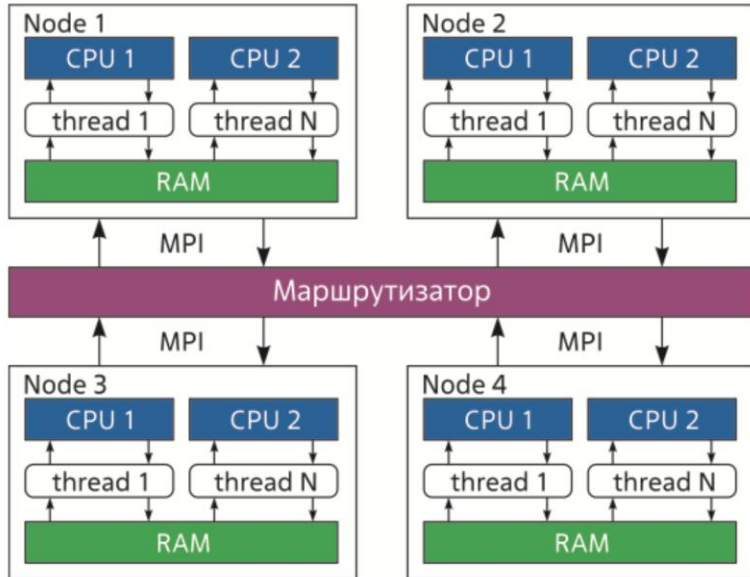


refiner

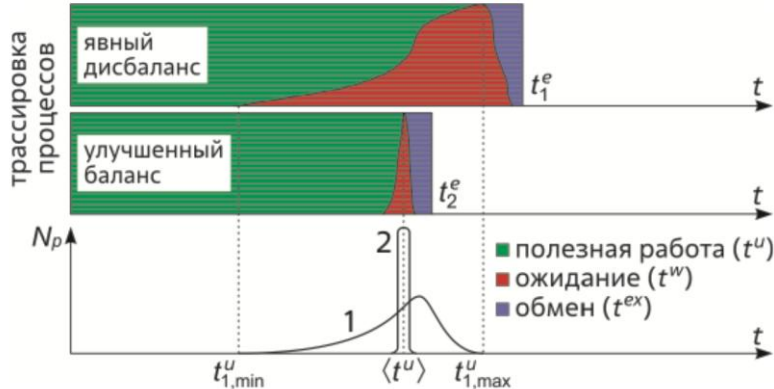




Гибридная параллелизация

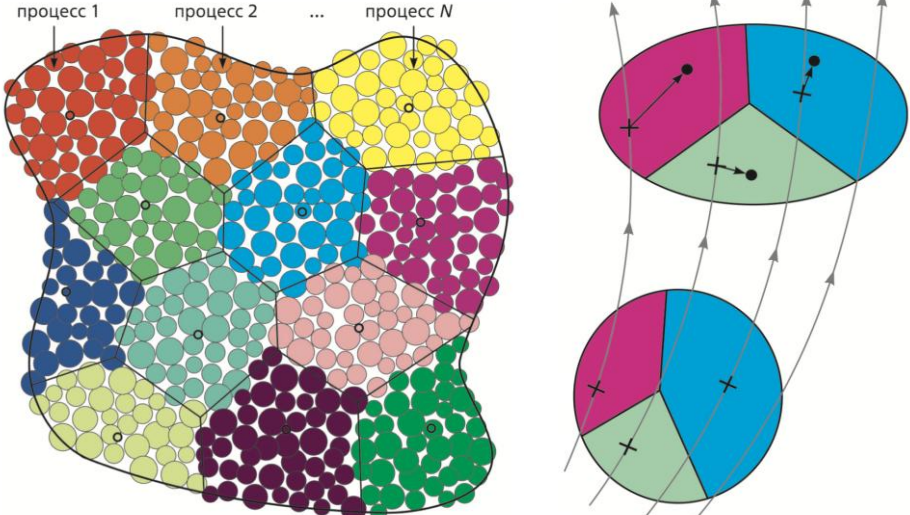


Балансировка нагрузки



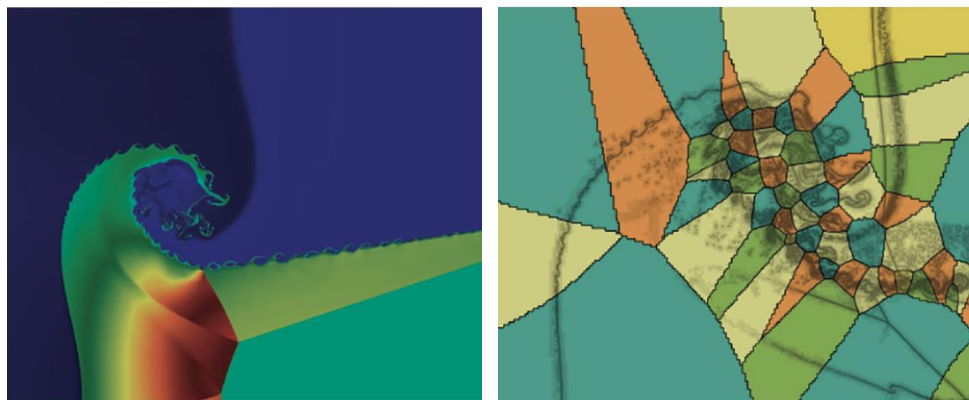
Модуль распределённых вычислений

Декомпозиция по диаграмме Вороного



M.S. Egorova et al. Comput. Phys. Commun. (2019) DOI: 10.1016/j.cpc.2018.07.019

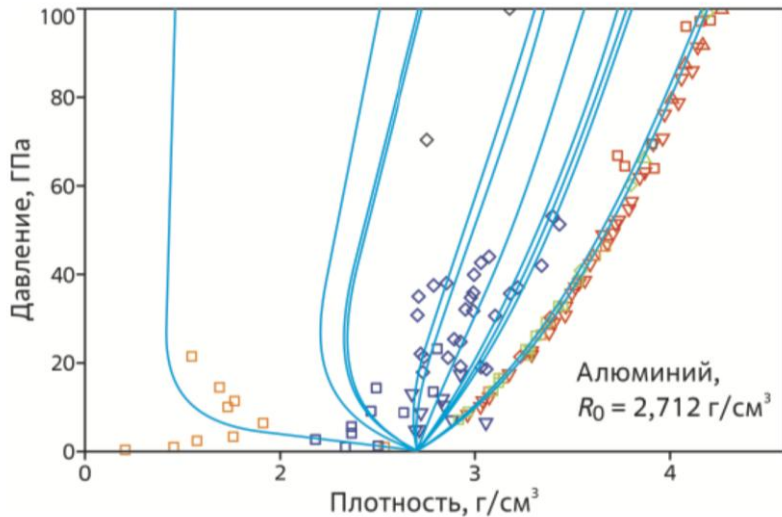
Применение к адаптивным сеткам



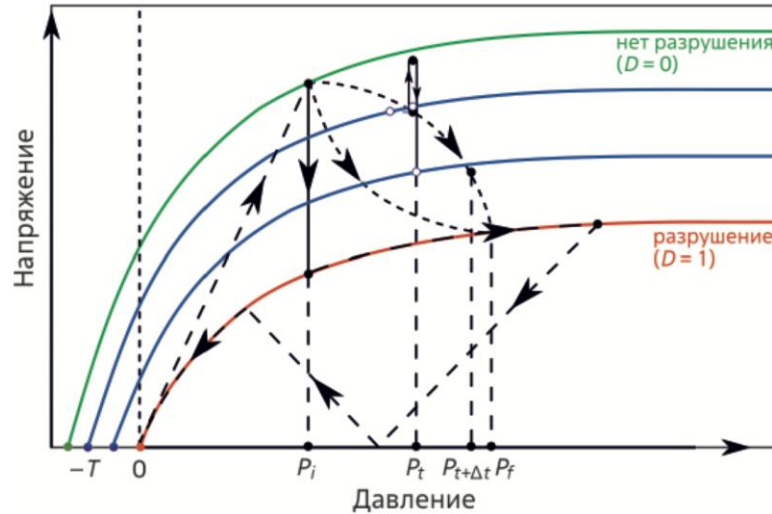
R.V. Muratov et al. Comput. Phys. Commun. (2023) DOI: 10.1016/j.cpc.2023.108790



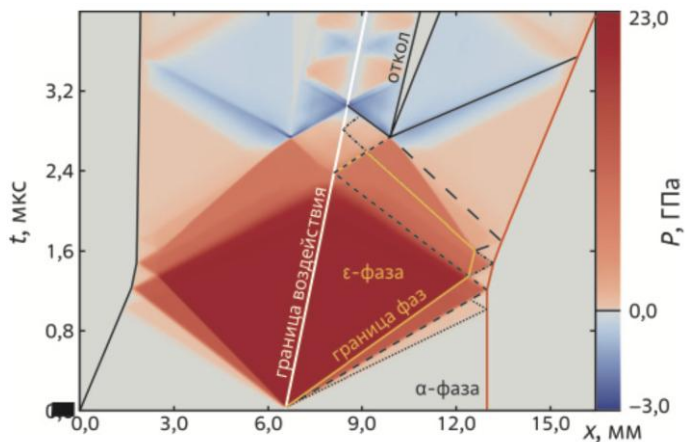
Уравнения состояния



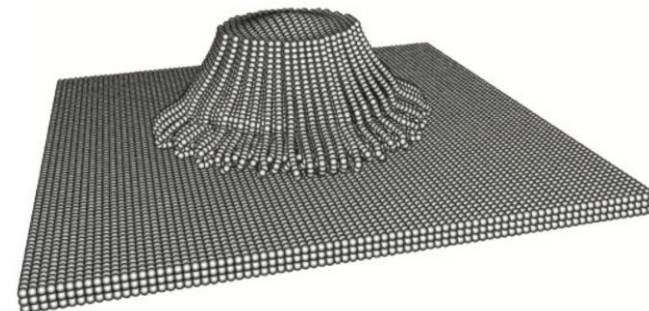
Прочность и упругопластика

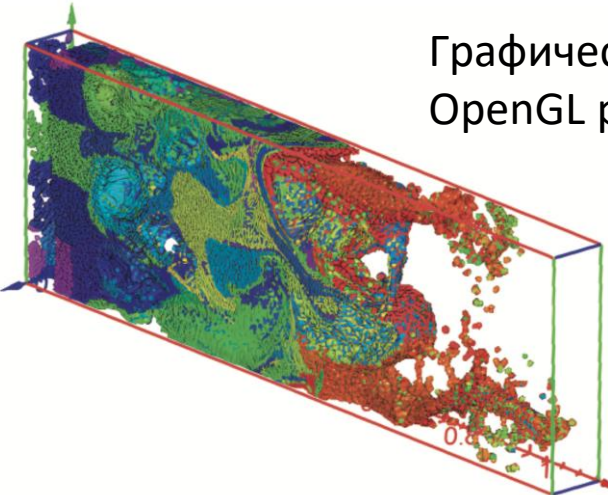


Разрушение и откол



Вязкость и капиллярность



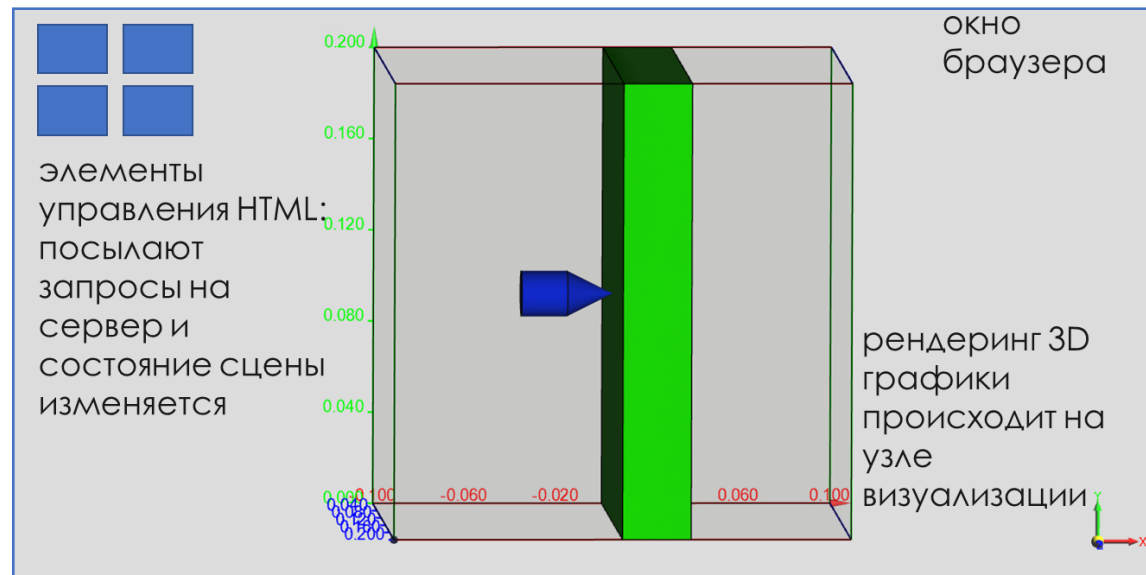


Графическое ядро:
OpenGL рендеринг больших объемов данных

Возможности ядра:

- Выбор цветовой палитры;
- Взятие сечений;
- Пороговая фильтрация;
- Построение распределений;
- Построение изоповерхностей;
- Построение 1D и 2D графиков;
- и другие.

Клиент-серверный механизм удаленного рендеринга



- Видеоизображение передается с сервера в браузер
- Элементы управления передают API-запросы по HTTP
- Сервер графики работает как в скриптовом режиме, так и через веб-интерфейс



pyphia.solver.FVM

Решатель метода конечного объёма



ВНИИА
РОСАТОМ

Модуль обеспечивает решение системы гиперболических уравнений:

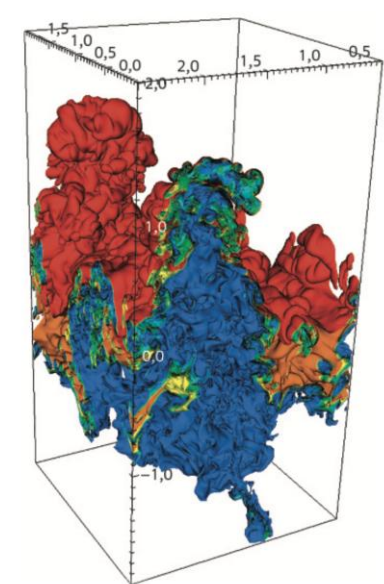
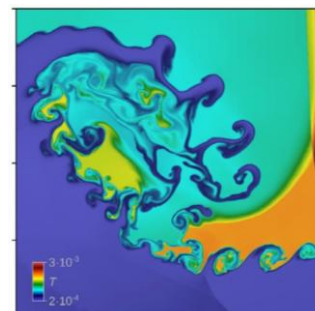
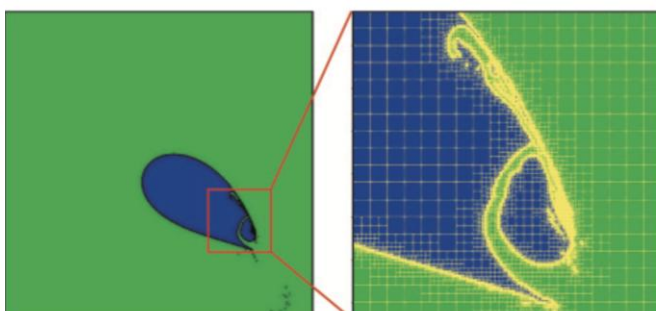
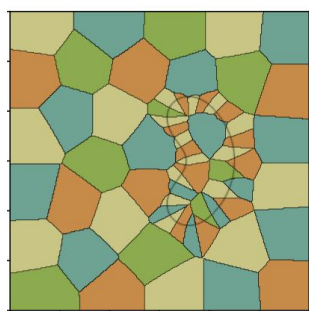
$$\frac{\partial \mathbf{q}}{\partial t} + \frac{\partial \mathbf{f}_x}{\partial x} + \frac{\partial \mathbf{f}_y}{\partial y} + \frac{\partial \mathbf{f}_z}{\partial z} = \mathbf{S};$$

$$V_i \frac{d\mathbf{q}_i}{dt} = - \sum_{\sigma} (\mathbf{f}_k n_k) s_{\sigma}.$$

$$\mathbf{q} = (\rho, \rho v, \rho u, \rho w, \rho E, \rho \beta_1, \dots, \rho \beta_n)^T.$$

Для расчёта потока в области контактных границ применяется аппроксимация численного потока, основанная на решении **составной задачи Римана**: вводится подсеточная реконструкция контактных границ материалов и там, где это возможно, потоки вычисляются между чистыми компонентами.

Menshov I. Zakharov P. Journal for Numerical Methods in Fluids V. 76, No 2. P. 109–127 (2014).



Моделирование пробития обшивки космического летательного аппарата.
Разрушение обшивки с разным уровнем сеточной адаптации

Развитие неустойчивого
процесса горения



pypria.solver.FVM

Решатель метода конечного объёма

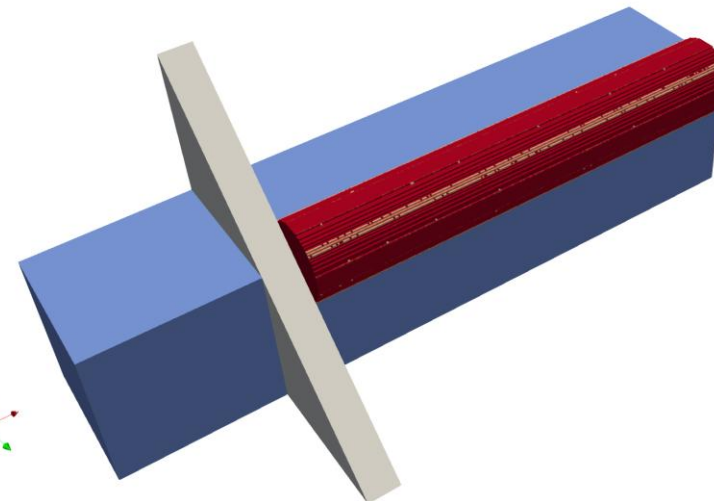


ВНИИА
РОСАТОМ

В 2025 году

1. Реализована возможность моделирования упругопластических течений

$$\begin{aligned} \frac{\partial \varphi^\alpha \rho^\alpha}{\partial t} + \frac{\partial \varphi^\alpha \rho^\alpha u}{\partial x} &= 0 \\ \frac{\partial \varphi^\beta \rho^\beta}{\partial t} + \frac{\partial \varphi^\beta \rho^\beta u}{\partial x} &= 0 \\ \frac{\partial(\varphi^\alpha \rho^\alpha + \varphi^\beta \rho^\beta)u}{\partial t} + \frac{\partial(\varphi^\alpha \rho^\alpha + \varphi^\beta \rho^\beta)u^2}{\partial x} - \frac{\partial \sigma_{11}}{\partial x} &= 0 \\ \frac{\partial(\varphi^\alpha \rho^\alpha + \varphi^\beta \rho^\beta)E}{\partial t} + \frac{\partial(\varphi^\alpha \rho^\alpha + \varphi^\beta \rho^\beta)Eu}{\partial t} - \frac{\partial \sigma_{11}u}{\partial x} &= 0 \\ \frac{\partial(\varphi^\alpha \rho^\alpha S_{11}^\alpha + 4/3\mu^\alpha \varphi^\alpha \rho^\alpha \ln \rho^\alpha)}{\partial t} + \frac{(\partial(\varphi^\alpha \rho^\alpha S_{11}^\alpha + 4/3\mu^\alpha \varphi^\alpha \rho^\alpha \ln \rho^\alpha)u)}{\partial x} &= 0 \\ \frac{\partial(\varphi^\beta \rho^\beta S_{11}^\beta + 4/3\mu^\beta \varphi^\beta \rho^\beta \ln \rho^\beta)}{\partial t} + \frac{(\partial(\varphi^\beta \rho^\beta S_{11}^\beta + 4/3\mu^\beta \varphi^\beta \rho^\beta \ln \rho^\beta)u)}{\partial x} &= 0 \\ \frac{\partial \varphi^\alpha}{\partial t} + u \frac{\partial \varphi^\alpha}{\partial x} - (\varphi^\beta \Lambda^\beta - \varphi^\alpha \Lambda^\alpha) \frac{\partial u}{\partial x} &= 0 \end{aligned}$$



2. Реализована возможность моделирования капиллярных явлений





pyphia.solver.FVM

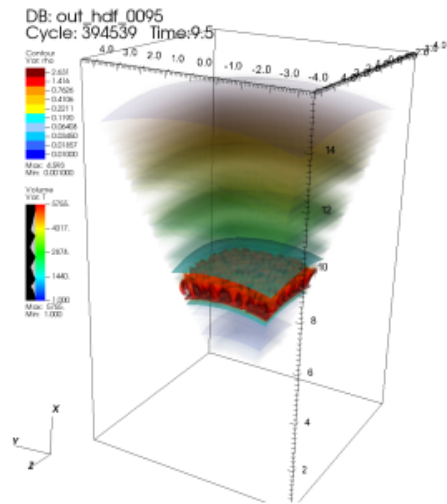
Решатель для магнитной гидродинамики



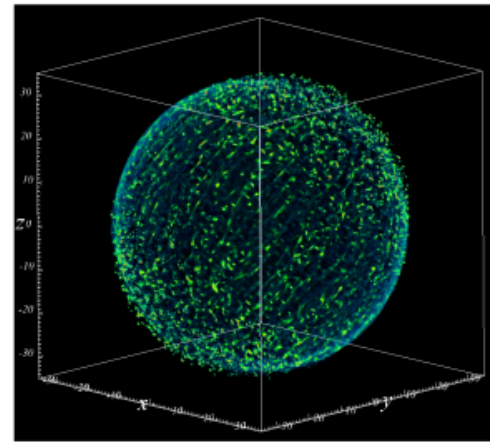
ВНИИМ
РОСАТОМ

Создан для расчётов физики плазмы:

- 1Т, 2Т, многожидкостные модели
- Магнитная гидродинамика
- Модели теплопереноса
- Радиационный перенос (серое приближение, многогрупповой)
- Модели лазерного поглощения
- Ионизационные процессы (равновесные модели, кинетика)
- Транспорт нетепловых частиц
- Модули для расчётов свойств веществ (УРС, пробеги)
- Релятивистская гидродинамика
- Химические и ядерные реакции



Мишени ЛТС



Сверхновые

$$\partial_t \rho_c + \partial_i (\rho_c v_i^{(c)}) = 0$$

$$\partial_t (\rho_c v_i^{(c)}) + \partial_j (\rho_c v_i^{(c)} v_j^{(c)} + \delta_{ij} p_c) = \frac{1}{c} [\mathbf{j} \times \mathbf{B}]_i$$

$$\partial_t (\rho_c e_c) + \partial_i (\rho_c v_i^{(c)} e_c) + p_c \partial_i v_i^{(c)} = \mathbf{j} \cdot \mathbf{E}$$

$$\partial_t \mathbf{B} = \text{rot}[\mathbf{v} \times \mathbf{B}]$$



[pypria.solver.SPH](#)

Решатель метода сглаженных частиц

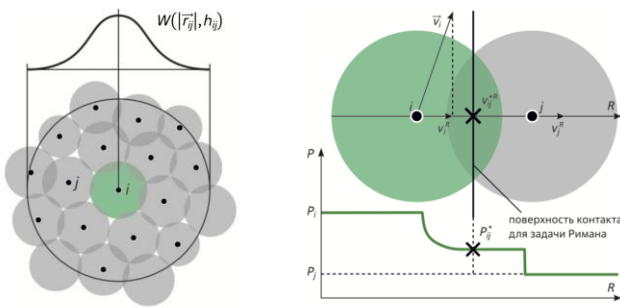


ВНИИА
РОСАТОМ

Схема бессеточного метода SPH [8]

$$f(\mathbf{r}_i) = \sum_{i=1}^N \frac{m_i}{\rho_i} f(\mathbf{r}_i) W_{ij} + O(h^2)$$

$$\nabla f(\mathbf{r}_i) = \sum_{i=1}^N \frac{m_i}{\rho_i} f(\mathbf{r}_i) \nabla_i W_{ij} + O(h^2)$$



Уравнения контактного метода SPH:

$$\frac{dp_i}{dt} = 2\rho_i \sum_j \frac{m_j}{\rho_j} (\vec{v}_i - \vec{v}_{ij}^*) \cdot \nabla_i W_{ij};$$

$$\frac{d\vec{v}_i}{dt} = -\frac{2}{\rho_i} \sum_j \frac{m_j}{\rho_j} P_{ij}^* \cdot \nabla_i W_{ij};$$

$$\frac{d(e_i + \frac{V_i^2}{2})}{dt} = \frac{1}{\rho_i} \sum_j \frac{m_j}{\rho_j} P_{ij}^* \vec{v}_{ij}^* \cdot \nabla_i W_{ij}.$$

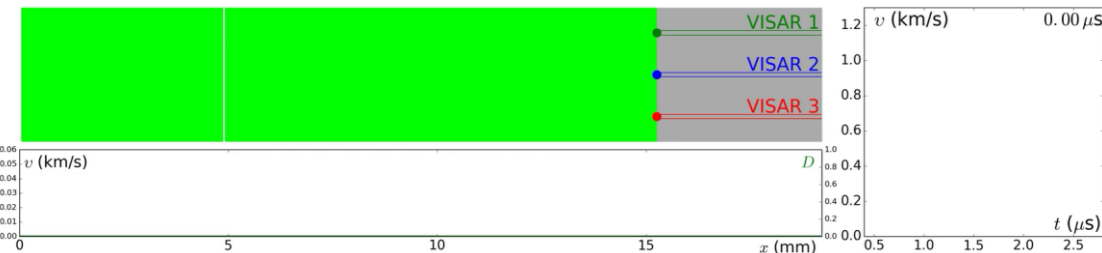
Система замыкается уравнением состояния.

Моделирование кумулятивной струи



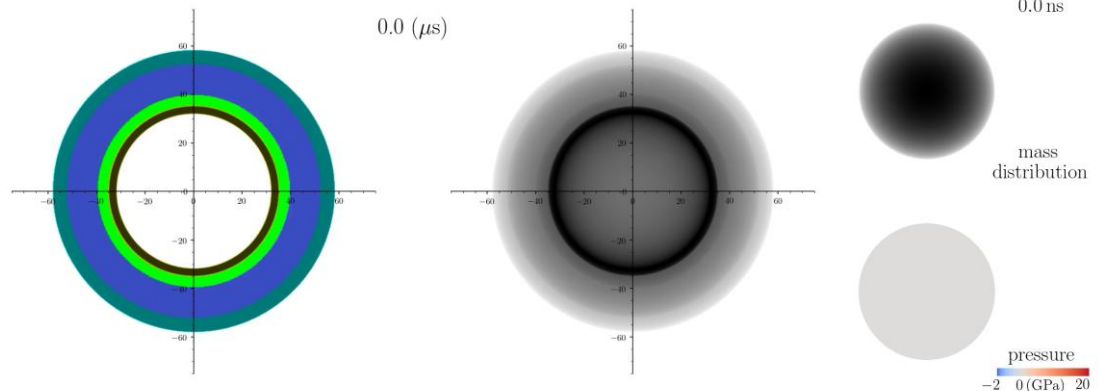
M.S. Egorova et al. Comput. Phys. Commun. (2019) DOI: 10.1016/j.cpc.2018.07.019

Моделирование ударных волн, откола и разрушения



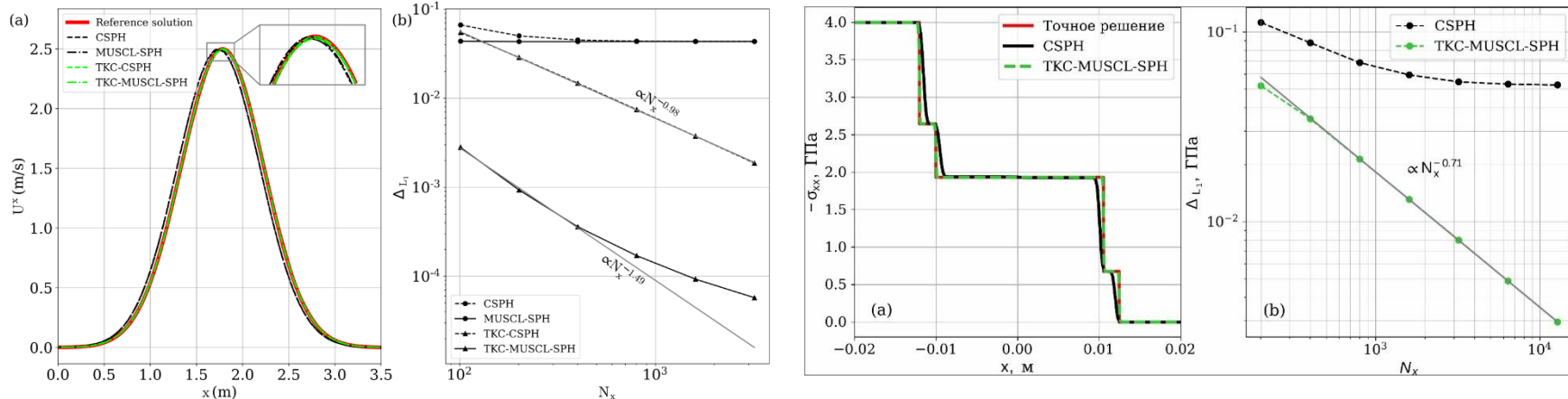
S.A. Dyachkov et al. Journal of Applied Physics 124, 085902 (2018); DOI: 10.1063/1.5043418.

Взрывное и лазерное воздействие

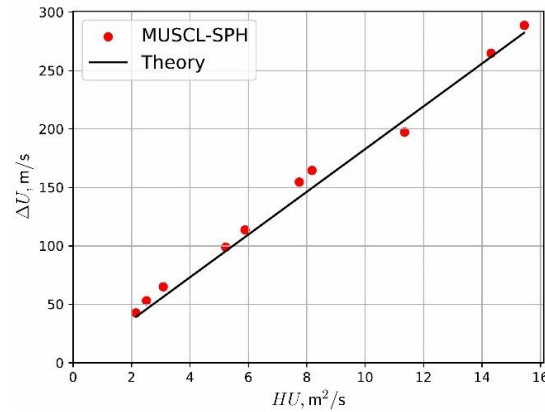
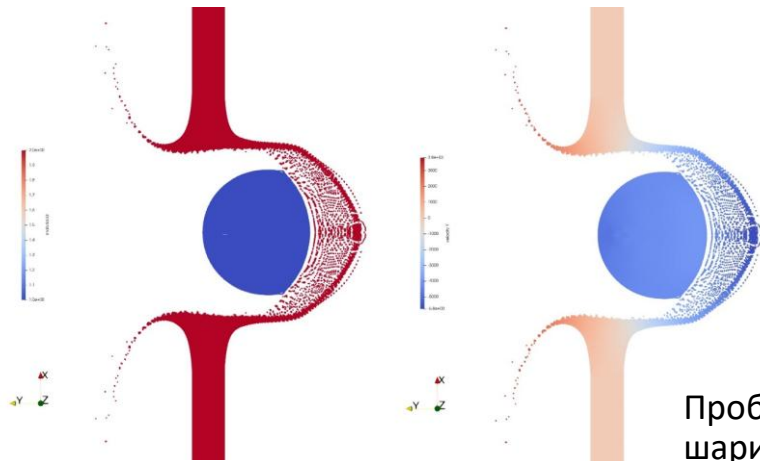




Введена корректировка градиента сглаживающего ядра.
Повышена точность моделирования упругопластических сред.
Реализован осесимметричный решатель.



G.D. Rublev, A.N. Parshikov, S.A. Dyachkov. Applied Mathematics and Computation. V. 488, pp. 129128 (2025) DOI: 10.1016/j.amc.2024.129128 (Q1)



Пробитие препятствия из ПММА толщиной $H=1,74$ мм стальным шариком диаметром 6,35 мм со скоростью $U = 4,45$ км/с

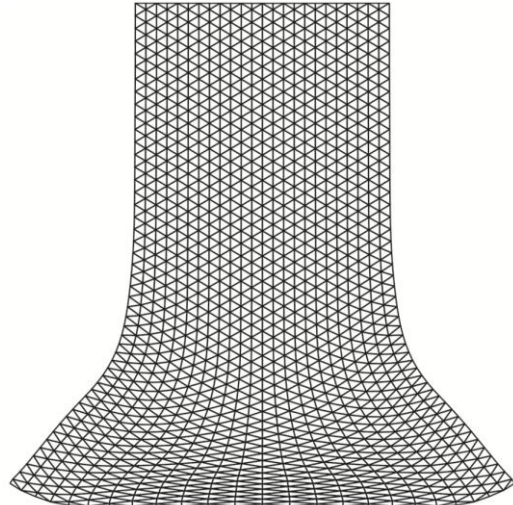


Метод конечных элементов для многоматериальных течений обеспечивает решение системы уравнений в лагранжевых координатах:

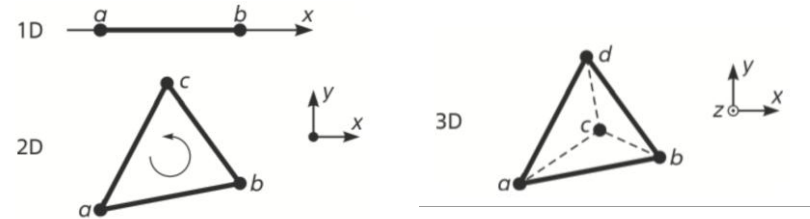
$$\frac{dM}{dt} = 0; \quad \frac{dv}{dt} = \frac{1}{\rho} (\nabla \cdot \hat{\sigma});$$

$$\frac{dE}{dt} = -P\dot{V} + V(\hat{s} \circ \hat{\epsilon});$$

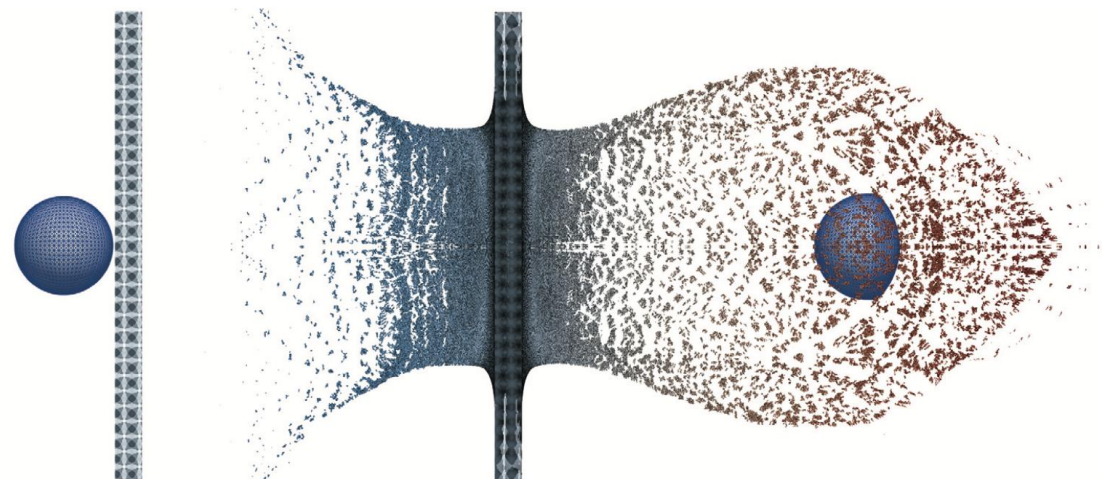
$$\frac{d\hat{s}}{dt} = 2G \left(\hat{\epsilon} - \frac{\hat{I}}{3} \dot{\epsilon}_v \right) - \hat{s} \hat{\Omega} + \hat{\Omega} \hat{s}.$$



Моделирование теста Тейлора



Пробитие SPH-преграды сеточным ударником

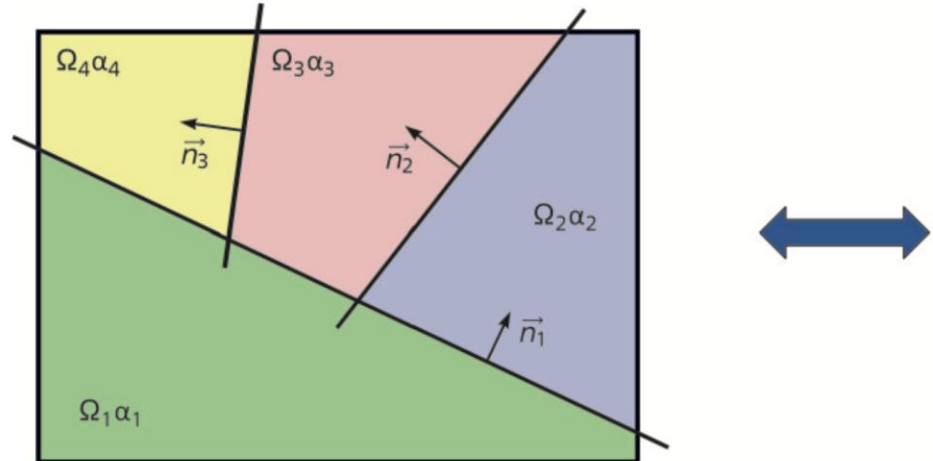


Отражение от упругой стенки





Сопряжение метода конечного объема и SPH



- обычные частицы
- виртуальные частицы
- обычные ячейки
- приграничные ячейки
- виртуальные ячейки

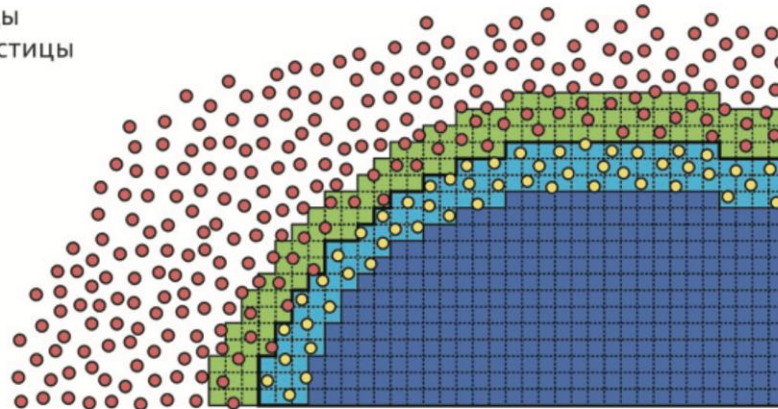
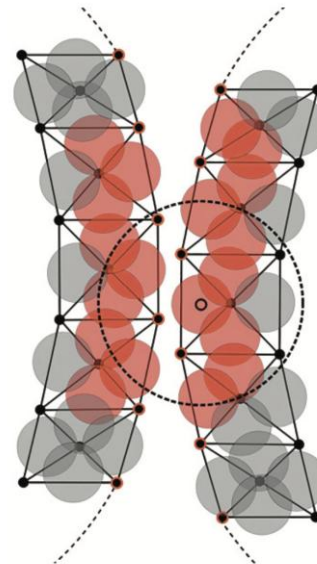


Схема интерфейса сопряжения



Сопряжение FEM и SPH

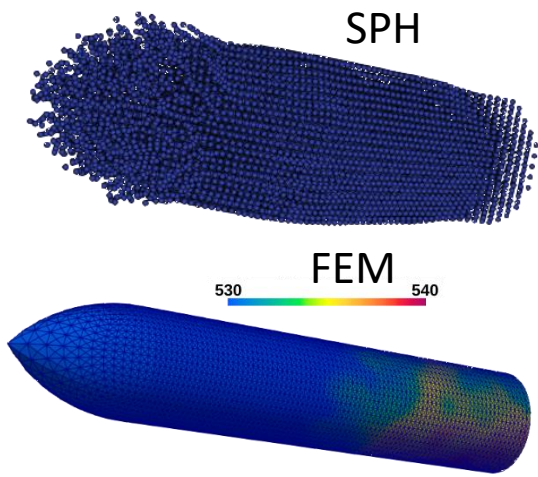
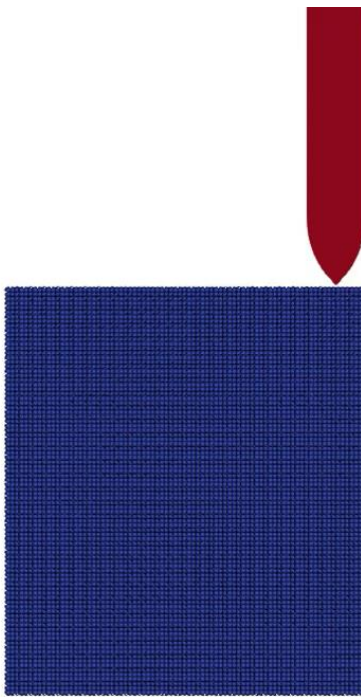
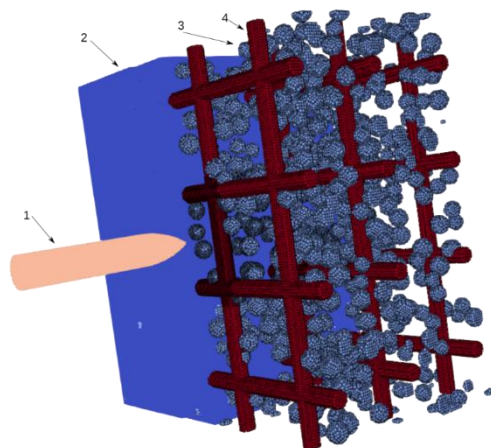
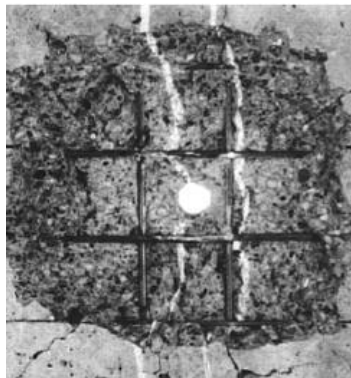


pypchia.solver

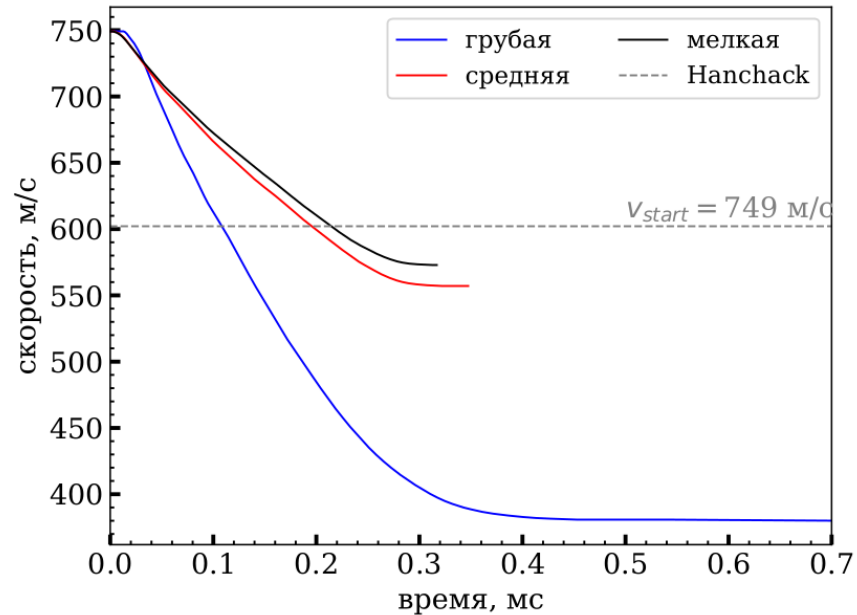
Сопряжение решателей



ВНИИА
РОСАТОМ



Пробитие препятствия из железобетона





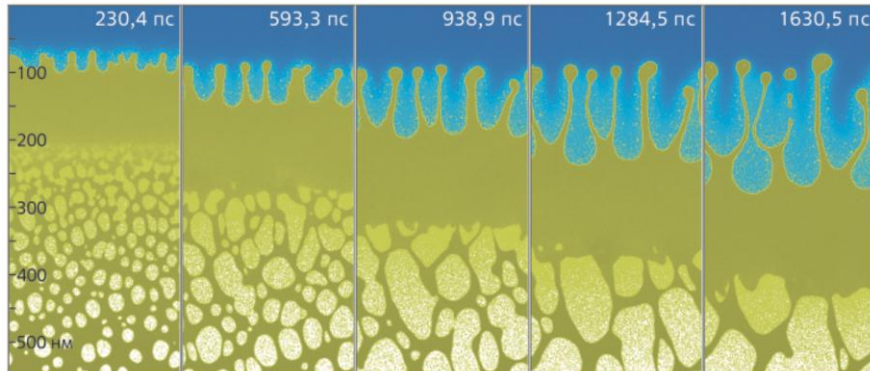
Модуль обеспечивает решение системы уравнений Ньютона для N взаимодействующих частиц:

$$m_i \frac{d^2 \mathbf{r}_i(t)}{dt^2} = \mathbf{f}_i = -\frac{\partial U}{\partial \mathbf{r}_i}; \quad i = 1, \dots, N.$$

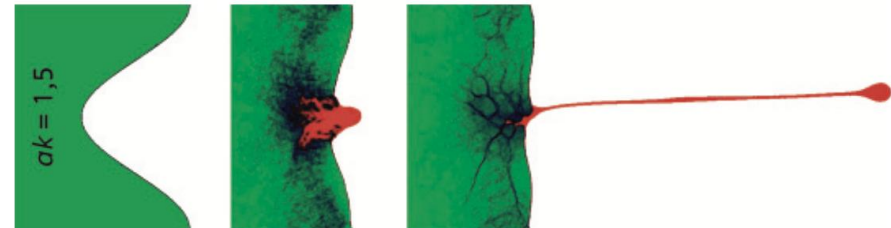
Как правило, для интегрирования по времени используется схема Верле:

$$\mathbf{r}_i(t + \Delta t) = \mathbf{r}_i(t) + \mathbf{v}(t)\Delta t + \frac{1}{2} \left(\frac{\mathbf{f}_i(t)}{m_i} \right) \Delta t^2;$$

$$\mathbf{v}_i(t + \Delta t) = \mathbf{v}_i(t) + \frac{1}{2} \left[\frac{\mathbf{f}_i(t)}{m_i} + \frac{\mathbf{f}_i(t + \Delta t)}{m_i} \right] \Delta t.$$

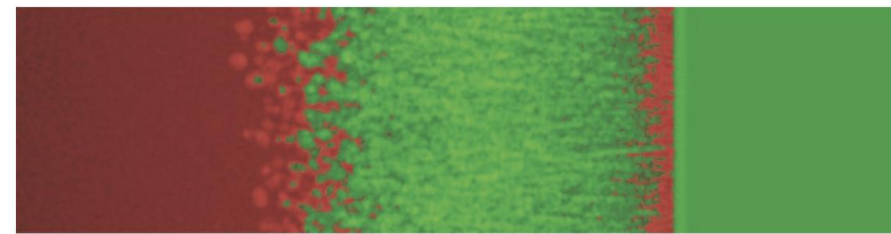


Формирование наночастиц золота при абляции в воду под действием ультракоротких лазерных импульсов



Выброс кумулятивной струи расплавленной меди при выходе ударной волны на гофрированную поверхность

S. A. Dyachkov et al. // AIP Conf. Proc. 1793, 100024 (2017) DOI: 10.1063/1.4971649



Кристаллизация за фронтом ударной волны от воздействия пикосекундного лазерного импульса в титане при лазерной ковке

V.V. Zhakhovsky et al. Phys. Fluids 35, 096104 (2023) DOI: 10.1063/5.0165622



Моделирование работы полупроводников

$$\Delta\varphi = -\frac{q}{\epsilon\epsilon_0}(p-n+N_d-N_a)$$

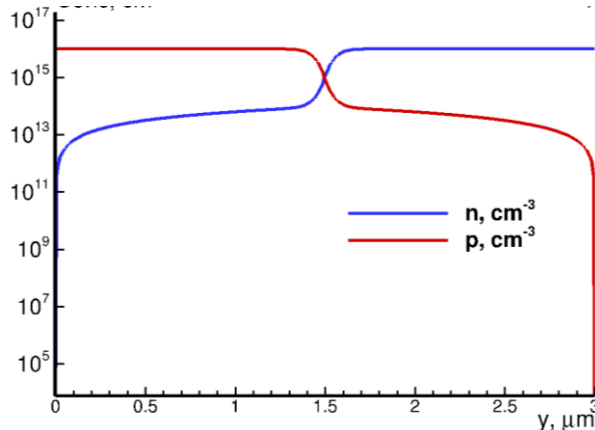
$$\operatorname{div} \mathbf{J}_n - qR - q \frac{\partial n}{\partial t} = 0$$

$$\operatorname{div} \mathbf{J}_p + qR + q \frac{\partial p}{\partial t} = 0$$

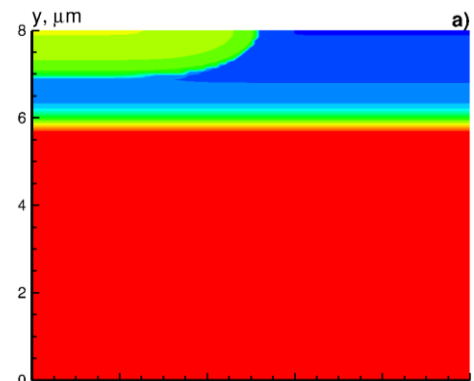
$$\mathbf{J}_n = qD_n\nabla n - q\mu_n\nabla\varphi$$

$$\mathbf{J}_p = -qD_p\nabla p - q\mu_p\nabla\varphi$$

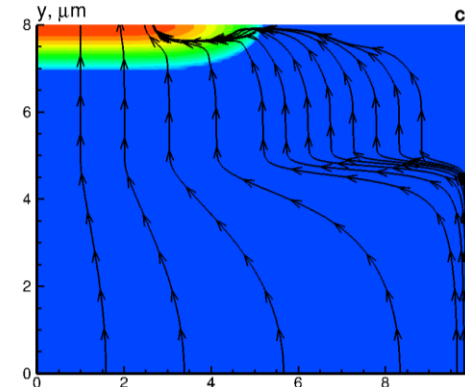
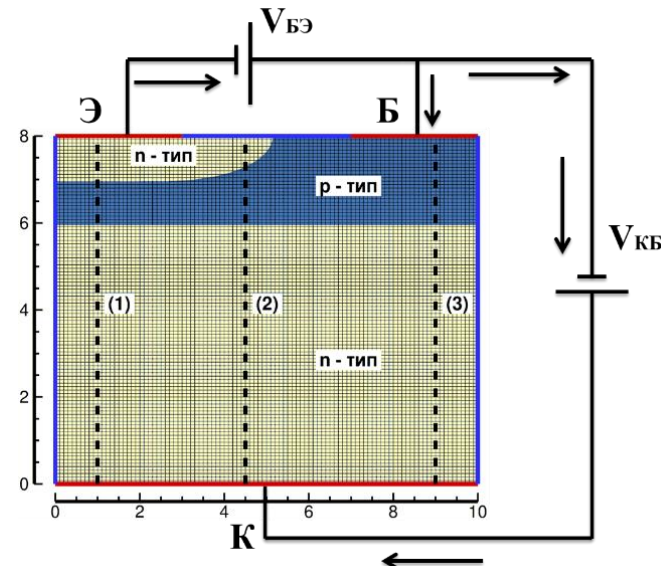
$$D_n = \frac{\mu_n E_n}{q}, D_p = \frac{\mu_p E_p}{q}$$



Распределение концентрации носителей заряда и напряженность электрического поля в диоде ($V=0.6$ В)



Распределение потенциала, концентрации электронов в биполярном транзисторе при $V_{БЭ}= 0.4$ В.



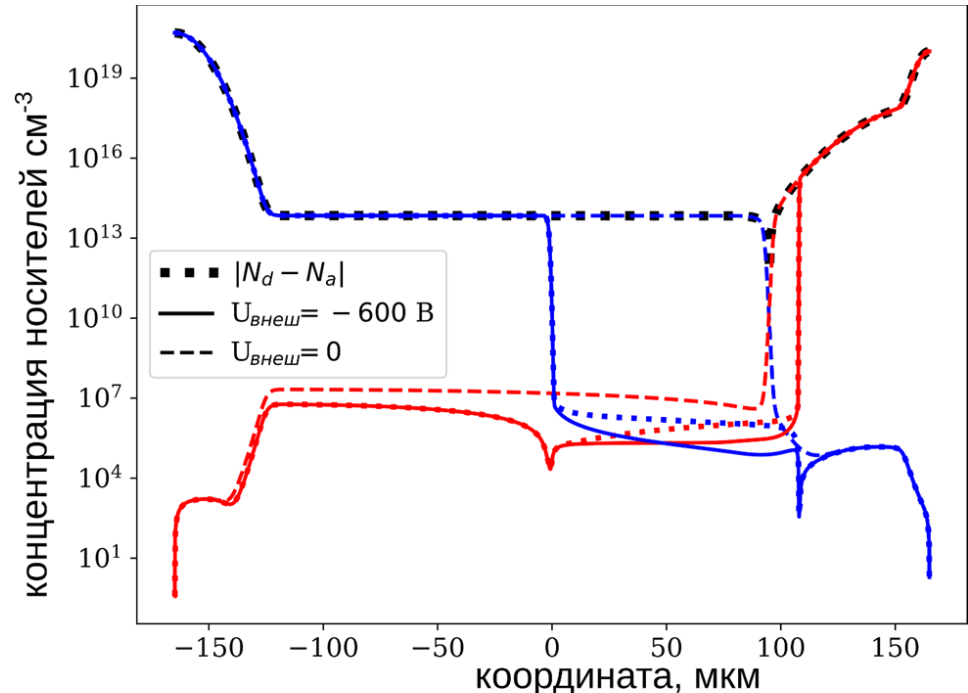


Моделирование работы полупроводников

Апроксимация системы уравнений методом сглаженных частиц

1. Апроксимация системы уравнений в приближении Шарфеттера – Гуммеля на основе метода SPH для теплопроводности
$$\langle \nabla \cdot (\varepsilon \nabla \varphi) \rangle_i = 2 \sum_j \frac{\varepsilon_{ij} V_j W'_{ij} \mathbf{G}_{ij} \vec{e}_{ij} \cdot \vec{e}_{ij}}{r_{ij}} (\varphi_i - \varphi_j)$$
2. Полностью бессеточный подход
3. Предложенный метод является аппроксимацией при использовании матрицы \mathbf{G} корректировки операторов
4. В граничных частицах с условием Дирихле заданы значения, для смешанных условий использована оценка производной методом воспроизводящих ядер сглаженных частиц.

$$\begin{bmatrix} 1 & \dots & 0 \\ \dots & A_{11}^{(\varphi)} & \dots & A_{1j}^{(\varphi)} \\ & \vdots & & \\ \dots & A_{Mj}^{(\varphi)} & \dots & A_{MM}^{(\varphi)} \dots \end{bmatrix} \begin{bmatrix} \varphi_0^{[k+1]} \\ \varphi_1^{[k+1]} \\ \vdots \\ \varphi_M^{[k+1]} \end{bmatrix} = \begin{bmatrix} \varphi_0^{(G)} \\ b_1^{(\varphi)} \\ \vdots \\ b_M^{(\varphi)} \end{bmatrix}$$



Пример расчета p-n диода сильно легированного по краям с обратным напряжением 600 В

Условие Дирихле

Внутренние и граничные точки



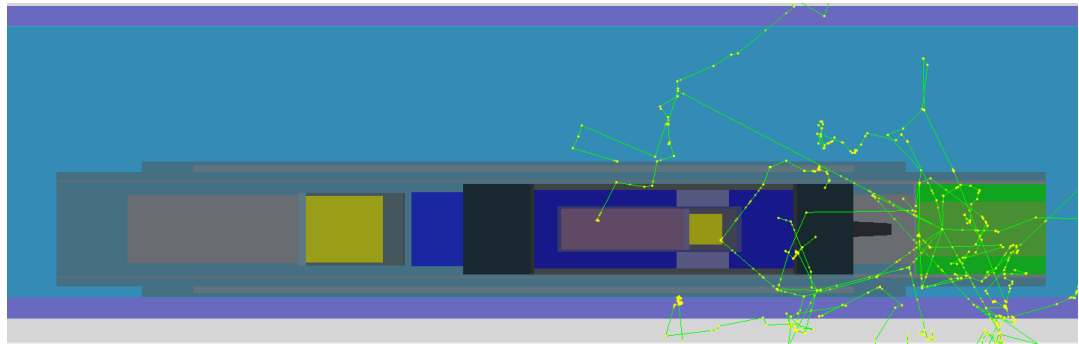
pypria.solver

ТРТ. Решатель для транспорта частиц

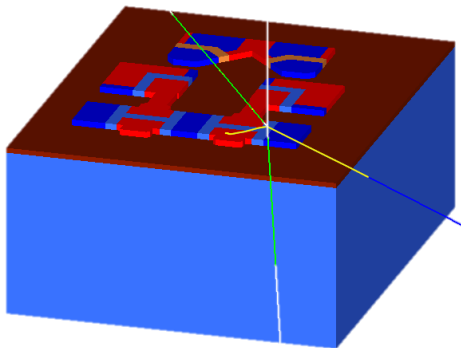


ВНИИА
РОСАТОМ

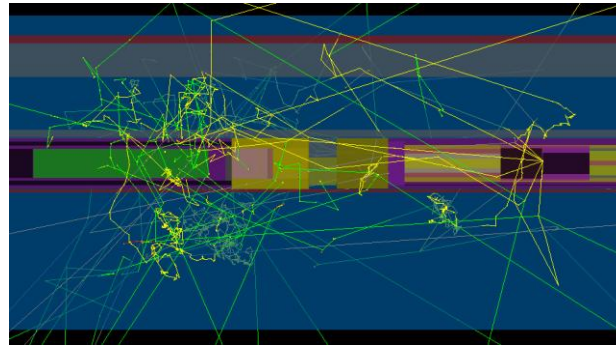
обеспечивает Монте-Карло моделирование транспорта частиц в среде с учетом процессов упругого и неупругого рассеяния, радиационного торможения и др. При расчетах используется обширная база данных ядерных реакций и сечений взаимодействий частиц.



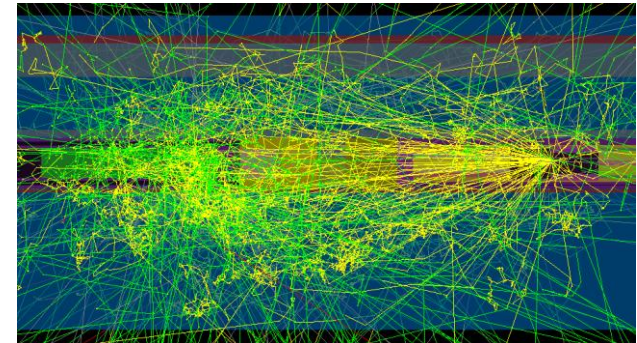
Моделирование каротажной установки



Моделирование радиационной стойкости электроники



16 и 150 событий, в которых рожденные нейтронами γ -кванты попали в γ -детектор.



Интерфейс пользователя

Веб-интерфейс



Создать

Задачи

Ресурсы Статистика

Sergey
171-dsa@vniia.net



task

Геометрия

■ Дискретизация

 Декомпозиция

1 Mater

Al Поля

 Моделирование

Постобрабо

Статисти

Этапы моделирования

Геометрия — редактирование параметров расчетной области и расположение в расчетной области геометрических моделей различных объектов: границ материалов, полей физических величин и других областей начальных данных.

Дискретизация — построение в расчетной области сетки и вычисление объемных долей пересечения с областями начальных данных, заданными пользователем на предыдущем этапе.

Декомпозиция — разбиение расчетной сетки между вычислительными процессами для дальнейшего параллельного расчета.

Материалы — задание параметров моделей материалов и ассоциация материалов с геометрическими моделями.

Поля — задание начальных распределений полей физических величин в областях, ассоциированных с геометрическими моделями.

Моделирование — выбор параметров решателей, настройка интервалов вывода данных, определение формата файлов для сохранения.

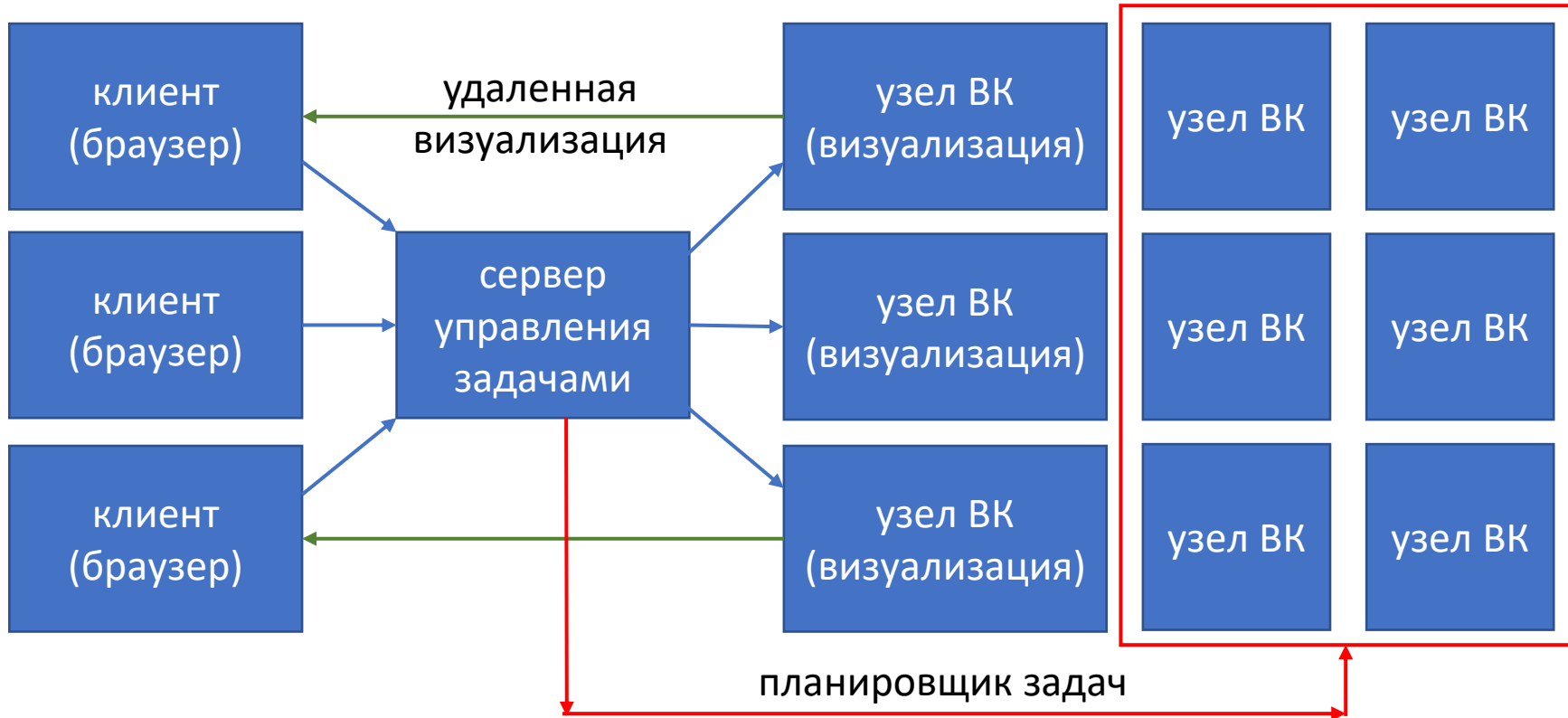
Постобработка — просмотр результатов расчета в виде графиков и таблиц.

Статистика — просмотр информации о ходе расчета: число выполненных шагов, число сохраненных файлов, размер сетки, эффективность моделирования и т. д.

Скрипты — просмотр и редактирование скриптов, которые были сформированы в результате работы пользователя с графическим интерфейсом.

Интерфейс пользователя

Архитектура



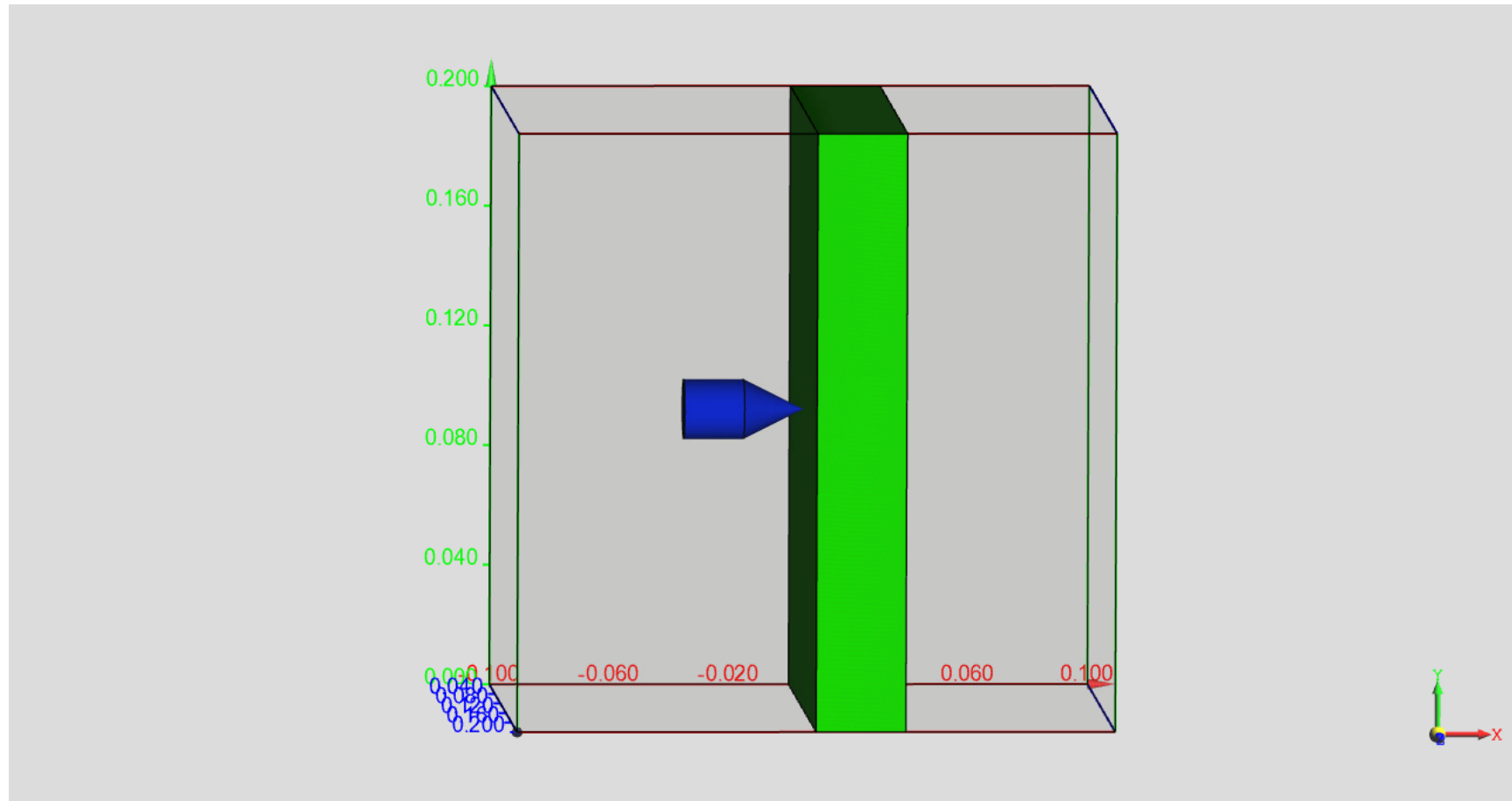
- Пользователь открывает сайт в браузере, открывается интерфейс управления задачами
- Выбирается задача, отправляется запрос на старт сервера визуализации
- Осуществляется интерактивное задание геометрии, работа с сеткой, в соответствующих формах задаются параметры задачи
- Последовательность команд транслируется в Python, скрипт ставится в очередь на счет
- Результаты просматриваются также на сервере визуализации

Заключение

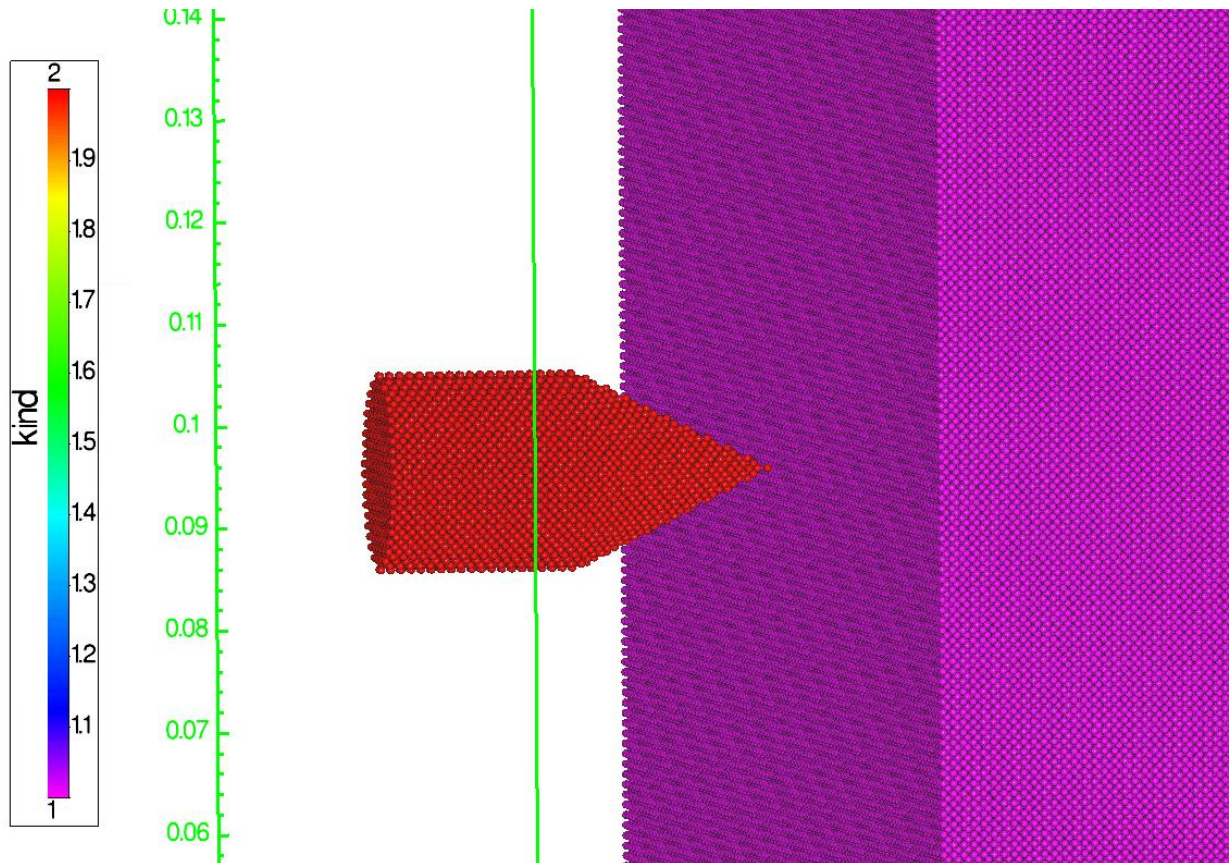
- Разработана программная платформа PyRNIA, в рамках которой обеспечен единый формат представления данных и общий алгоритм параллелизации вычислений
- В рамках платформы успешно реализованы сеточные и бессеточные методы решения задач механики сплошной среды, а также ведется работа по развитию интерфейсов сопряжения различных методик
- Для высокопроизводительных модулей реализованы соответствующие интерфейсы на языке Python, поддерживающие NumPy, что позволяет проводить интеграцию модулей комплекса с большим количеством Python-библиотек
- Ведутся работы по созданию полноценного пользовательского интерфейса в виде интерактивного веб-приложения с возможностью проведения высокопроизводительных вычислений

Проведение расчетов

Задание начальных данных (препроцессинг)



Расчет сетки частиц (результат)



Скрипт для расчета задание моделей материалов

```
# ===== setup models =====
models = ModelList(threads=threads)

B4C = CeramicModel("B4C")

fe_eos      = eos(dens0=7900, c0=4570, a=1.4, gamma=2.0)
fe_elastic = elastic(yieldStrength=0.5e+9, poissonRatio=0.25)
fe_tensile = tensile(T=2.0e+9)

iron = CompoundModel()

iron.add(fe_eos)
iron.add(fe_elastic)
iron.add(fe_tensile)

models.add(B4C)
models.add(iron)
```

- Железо – составная модель: УрС + упругопластика + откол
- Карбид бора – одна модель

Скрипт для расчета

задание вектора состояния и загрузка данных

```
# ===== define field quantities =====
dtype = np.dtype([
    coords,
    velocity,
    force,
    mass,
    density,
    pressure,
    energy,
    energyDerivative,
    soundSpeed,
    strainRate,
    tensileStrength,
    yieldStrength,
    shearModulus,
    neibsSearchRadius,
    strainRateDeviator,
    stressDeviator,
    soundSpeedLongitudinal,
    soundSpeedTransversal,
    angularVelocity,
    equivalentStress,
    Dfrag,
    dPres,
    material,
    element,
    size
])
# ===== load initial geometry =====
infile = hdf.File(name="bullet_result.h5", access="r", driver="mpio")

nVD = network.size

Npart = infile["particles"]["set0"].shape[0]
Nparts_from = [0]
Nparts_to = [Npart//nVD]
for i in range(1, nVD):
    Nparts_from.append(Nparts_from[i - 1] + Npart//nVD)
    Nparts_to.append(Nparts_to[i - 1] + Npart//nVD)
Nparts_to[-1] = Npart
my_rank = network.self.rank
partgeom = infile["particles"]["set0"][Nparts_from[my_rank]:Nparts_to[my_rank]]

elements = Storage(dtype, partgeom.size)

elements.data["coords"] = partgeom["r"]
elements.data["material"]["id"] = partgeom["kind"]
elements.data["size"]["value"] = partgeom["size"]
elements.data["element"]["kind"] = kind.SPH
elements.data["element"]["dimension"] = 3
```

Скрипт для расчета организация вывода частиц на диск

```
# ===== setup converter to particles =====
wsize = np.array([0.1, 0.1, 0.1])
wcenter = np.array([0.0, 0.1, 0.1])
worientation = np.array([
    1.0, 0.0, 0.0,
    0.0, 1.0, 0.0,
    0.0, 0.0, 1.0
])
window3D = Window(wsize, wcenter, worientation)
to_out_particles = Particles(
    window3D,
    np.dtype([
        'coords',
        'velocity',
        'density',
        'pressure',
        'Dfrag',
        'energy',
        'size
    ])
)
# all dtypes to save particles
to_save_particles = Particles(window3D, dtype)
# =====
```

```
def output_particles(fname, elements, converter):
    converter.convert(elements, network)
    outparticles = converter.get()
    outfile = hdf.File(name=fname, access="w", driver="mpio")
    my_rank = network.self.rank
    counts = []
    for rank in range(network.size):
        outfile["window"]["1"]["particles"]["set" + str(rank)] =
            hdf.Dataset(
                outparticles.data.dtype,
                converter.count(rank)
            )
        counts.append(converter.count(rank))
    outfile["window"]["1"]["particles"]["set" + str(my_rank)] = outparticles.data
```

- При параллельной записи HDF-файл должен быть подготовлен независимо каждым MPI-процессом, после чего производится запись в конкретную часть файла
- Информация о числе частиц в каждом MPI-процессе передается при запуске конвертера

Скрипт для расчета декомпозиция расчетной области и начальные условия



```

# ===== domain decomposition =====
bounds = Bounds(-0.1, 0.3,
                 -0.1, 0.3,
                 -0.1, 0.3)

VDCenters = Storage(np.dtype([coords]), nVD)
VDCenters.data["coords"]["x"] = 0.0
VDCenters.data["coords"]["y"] = np.array([0.07, 0.014])
VDCenters.data["coords"]["z"] = 0.0
VD = Decomposer(
    network=network,      # required
    elements=elements,    # required
    bounds=bounds,        # required
    dimension=3,          # optional
    threads=threads,      # optional
    centroidal=0.25,      # optional
    centers=VDCenters,    # optional
    stopwatch=useful       # optional
)
VD.update()
VD.exchange()

# ===== setup initial conditions =====
iFe  = np.nonzero(np.equal(elements.data["material"]["id"], models.id(iron)))
iB4C = np.nonzero(np.equal(elements.data["material"]["id"], models.id(B4C)))

elements.data["density"]["value"][iFe]  = iron.density0
elements.data["density"]["value"][iB4C] = B4C.density0
elements.data["velocity"] = 0.0
elements.data["velocity"]["x"][iFe] = 500.0
elements.data["energy"]["value"] = 0.0
elements.data["mass"]["value"] = elements.data["density"]["value"]*
                                elements.data["size"]["value"]**3
elements.data["neibsSearchRadius"]["value"] = 4.0*elements.data["size"]["value"]
nlist = Nlist(
    decomposition=VD,
    dimension=3,
    threads=threads,
    periodic_x = False,
    periodic_y = False,
    periodic_z = False
)
# init SPH solver and stepper
solver = Solver(
    kernels["WendlandC2"],
    threads=threads
)
stepper = Stepper(
    models=models,
    solver=solver,
    threads=threads
)

```

Voronoi 1

500 m/c

Voronoi 2

Скрипт для расчета основной цикл

```
while(nSteps <= 10000):
    if (nSteps % 100 == 0):
        output_particles(
            "out/bullet-" + str(nSteps) + ".h5",
            elements, to_out_particles
        )
    if (nSteps % 1000 == 0):
        save_particles(
            "save/bullet-" + str(nSteps) + ".h5",
            elements, to_save_particles
        )
    if (nSteps % 10 == 0):
        evaluate_search_radius(
            kBuf=1.5,
            natives=VD.inner_elements,
            aliens=VD.outer_elements,
            neibs=nlist,
            threads=threads
        )
        load.find(useful, elapsed)
        VD.update(load.all(network))
        VD.exchange()
        nlist.update()
dt = stepper.get_step(VD, CFL=0.5)
stepper.make_step(VD, nlist, dt)
time += dt
nSteps += 1
```

- Каждые 100 шагов записываем выходной файл
- Каждые 1000 шагов записываем полный набор данных для перезапуска
- Каждые 10 шагов обновляем декомпозицию в соответствии с нагрузкой и перестраиваем список соседей
- Вычисляем шаг по времени из критерия Куранта и интегрируем

Постпроцессинг

